

ловые скорости  $\dot{\gamma}_x, \dot{\gamma}_z$  подвеса ПСБ по представленным выше аналогическим соотношениям с учетом ограничений на их модули.

Нелинейные цифровые алгоритмы управления основываются на структуре формирования вектора рассогласования  $\epsilon = \{\epsilon_i\} = -(\mathbf{s} \times \mathbf{n})$ , полученного при аналитическом синтезе непрерывных алгоритмов управления. Для повышения точности в установившемся режиме слежения рационально использование стандартного дискретного ПИ-регулятора: каждая компонента  $\epsilon_k$  вектора рассогласования  $\epsilon_k = -(\mathbf{s}_k \times \mathbf{n}_k)$  обрабатывается дискретным алгоритмом:  $v_k = v_{k-1} + b_g(\epsilon_{ik} + c_g \cdot \epsilon_{i,k-1})$  с постоянными параметрами  $b_g$  и  $c_g$ . Далее вектор  $v_k = \{v_{ik}\}$  используется в формировании дискретного вектора  $\omega_k^* = \omega_k^* + \sigma_k v_k$ , который «пересчитывается» в командные скорости перемещения ПСБ  $u_{ik}, i = x, z, k \in N_0$  по явным формулам:  $u_{ik} = \omega_{i0k}^* \cdot u_{zk} = \omega_{i0k}^* / C\gamma_{zk}$ , где  $C\gamma_{zk} \equiv \cos \gamma_{zk}(t_k)$  и два последних элемента вектора-столбца  $\omega_{i0k}^* \equiv \{\omega_{i0zk}^*, \omega_{i0xk}^*, \omega_{i0zk}^*\} = \omega_{i0k}^* - A_{ik}^*(\gamma_{zk}, \gamma_{zk}) \cdot \omega_k$  также получают аналитически. При этом учитываются условия  $(\phi_i(\cdot) \geq 0, i = 1, 2)$  ограничений на область допустимых положений ПСБ относительно конструкции корпуса КА, а также условия расположения КА в тени Земли. Эффективность цифровых алгоритмов косвенного наведения ПСБ и ПША с последующим их слежением за заданными ориентирами подтверждена компьютерным моделированием.

УДК 531.01 : 629.78 : 681.51

Сомов Е.И., Бутырин С.А., Ангонов Ю.Г., Мантуров А.И.

## АНАЛИТИЧЕСКИЙ СИНТЕЗ ПАРАМЕТРОВ ПРОСТРАНСТВЕННОГО ПОВОРОТНОГО МАНЕВРА КОСМИЧЕСКОГО АППАРАТА С КРАЕВЫМИ УСЛОВИЯМИ ОБЩЕГО ВИДА

Многоаспектная проблема прецизионного гиросилового управления пространственным движением маневрирующих космических аппаратов (КА) наблюдения уже более 20 лет исследуются авторами [1-8]. Так, в [2] доказана теорема, в соответствии с которой решение задачи пространственного поворотного маневра (ПМ) КА на заданном интервале времени

при произвольных краевых условиях по угловому положению и угловой скорости КА может быть представлено вектором конечного поворота в виде векторной полиномиальной функции времени, в [8] развит подход к построению различных программ углового движения с учетом заданных ограничений по угловым скоростям и ускорениям КА.

Задача аналитического синтеза параметров пространственного ПМ КА на заданном интервале времени  $t \in T_p \equiv [0, T_p]$  состоит в определении явных функций времени, однозначно определяющих кватернион ориентации  $\Lambda(t)$ , векторы угловой скорости  $\omega(t)$  и углового ускорения  $\varepsilon(t)$  связанного с корпусом КА базиса  $\mathbf{B} = \{\mathbf{b}_i, i = 1:3\}$  относительно известного инерциального базиса  $\mathbf{I} = \{\mathbf{i}_i\}$ . Кватернион  $\Lambda = (\lambda_0, \boldsymbol{\lambda}), \boldsymbol{\lambda} = \{\lambda_i\}$ , векторы  $\omega = \{\omega_i\}$ ,  $\varepsilon = \{\varepsilon_i\} = \dot{\omega}$  и вектор производной ускорения  $\varepsilon = \varepsilon' + \omega \times \varepsilon$  должны удовлетворять краевым условиям, заданным на левом (при  $t = 0$ ) и правом (при  $t = T_p$ ) концах траектории ПМ:

$$\Lambda(0) = \Lambda_0; \quad \omega(0) = \omega_0; \quad \varepsilon(0) = \varepsilon_0, \quad (1)$$

$$\Lambda(T_p) = \Lambda_f; \quad \omega(T_p) = \omega_f; \quad \varepsilon(T_p) = \varepsilon_f; \quad \varepsilon'(T_p) = 0 \quad (\dot{\varepsilon}(T_p) = \omega_f \times \varepsilon_f), \quad (2)$$

где условие  $\varepsilon'(T_p) = 0$  отражает требование плавности движения КА на завершающем участке ПМ и предусматривает его гладкое сопряжение с последующим участком движения КА.

Подход к решению задачи основывается на необходимом и достаточном условии разрешимости классической задачи Дарбу [9] – аналитического определения  $\Lambda(t)$  из уравнения  $\dot{\Lambda}(t) = \frac{1}{2} \Lambda(t) \otimes \omega(t)$  при известных  $\Lambda_0$  и  $\omega(t)$ . Введем базис  $\mathbf{E}_0$ , фиксированный в инерциальном базисе  $\mathbf{I}$  кватернионом  $\Lambda_0$  (1), а также подвижные базисы  $\mathbf{E}_k$  ( $k = 1, \dots, n$ ), где базис  $\mathbf{E}_n$  совпадает со связанным базисом  $\mathbf{B}$ . Указанное условие разрешимости задачи Дарбу состоит [10] в возможности представления вектора  $\omega(t)$  угловой скорости в виде  $\omega(t) = \omega_1(t) + \omega_2(t) + \dots + \omega_n(t)$ , где вектор  $\omega_k(t)$  имеет неизменное направление в базисе  $\mathbf{E}_{k-1}$  и является вектором мгновенной угловой скорости базиса  $\mathbf{E}_k$  относительно базиса  $\mathbf{E}_{k-1}$ .

Решение поставленной задачи представляется как результат сложения в общем случае пяти одновременно происходящих элементарных поворотов «вложенных» базисов  $\mathbf{E}_k$  вокруг ортов  $\mathbf{e}_k$  осей Эйлера, положение которых определяется из краевых условий (1), (2) исходной пространственной задачи. Краевые условия пяти элементарных поворотов приведены в табл. 1, где для всех этих движений требуется дополнительно обеспечить равенство нулю локальной (собственной) производной ускорения на правом конце траектории.

Таблица 1.

N П/п	Тип элементарного движения	Крайевые условия на левом конце траектории			Крайевые условия на правом конце траектории		
		Угол	Скорость	Ускорение	Угол	Скорость	Ускорение
1	Гашение начального углового ускорения	0	0	$\epsilon_0$	-	0	0
2	Гашение начальной угловой скорости	0	$\omega_0$	0	-	0	0
3	Позиционный переход	0	0	0	$\varphi^*$	0	0
4	Разгон до конечной угловой скорости	0	0	0	-	$\omega_f$	0
5	Разгон до конечного ускорения	0	0	0	-	0	$\epsilon_f$

Кватернион  $\Lambda(t)$  ориентации КА в базе  $I$  определяется произведением

$$\Lambda(t) = \Lambda_0 \otimes \Lambda_1(t) \otimes \Lambda_2(t) \otimes \Lambda_3(t) \otimes \Lambda_4(t) \otimes \Lambda_5(t), \quad (3)$$

где индексы 1-5 кватернионов  $\Lambda_k(t)$  соответствуют их номерам в табл. 1, причем  $\Lambda_k(t) = (\cos(\varphi_k(t)/2), \mathbf{e}_k \sin(\varphi_k(t)/2))$ , где  $\varphi_k(t)$  и  $\mathbf{e}_k$  - текущий угол и орт оси Эйлера  $k$ -ого поворота. В силу неподвижности орта  $\mathbf{e}_k$  в базе  $\mathbf{E}_{k-1}$  имеем  $\omega_k(t) = \dot{\varphi}_k(t) \cdot \mathbf{e}_k$ ;  $\epsilon_k(t) = \ddot{\varphi}_k(t) \cdot \mathbf{e}_k$  и  $\bar{\epsilon}_k(t) = \ddot{\varphi}_k(t) \cdot \mathbf{e}_k$ . Вектор угловой скорости  $\omega(t)$ , векторы углового ускорения  $\epsilon(t)$  и его производная  $\bar{\epsilon}(t)$  определяются аналитически по рекуррентному алгоритму:

- принимаются значения векторов  $\omega^{(1)}(t) = \omega_1(t)$ ,  $\epsilon^{(1)}(t) = \epsilon_1(t)$ ,  $\bar{\epsilon}^{(1)}(t) = \bar{\epsilon}_1(t)$ , где верхний индекс означает номер итерации;
- далее для индексов  $i = 2, 3, \dots, 5$  используются рекуррентные формулы

$$\begin{aligned} \omega_q(t) &= \bar{\Lambda}_i(t) \otimes \omega^{(i-1)}(t) \otimes \Lambda_i(t); \quad \omega^{(i)}(t) = \omega_i(t) + \omega_q(t); \\ \epsilon^{(i)}(t) &= \epsilon_i(t) + \bar{\Lambda}_i(t) \otimes \epsilon^{(i-1)}(t) \otimes \Lambda_i(t) + \omega_q(t) \times \omega_i(t); \\ \bar{\epsilon}^{(i)}(t) &= \bar{\epsilon}_i(t) + \bar{\Lambda}_i(t) \otimes \bar{\epsilon}^{(i-1)}(t) \otimes \Lambda_i(t) + (\omega_q(t) + 2\epsilon^{(i-1)}(t)) \times \omega_i(t), \end{aligned} \quad (4)$$

- искомые векторы получаются как  $\omega(t) = \omega^{(5)}(t)$ ,  $\epsilon(t) = \epsilon^{(5)}(t)$ ,  $\bar{\epsilon}(t) = \bar{\epsilon}^{(5)}(t)$ .

Функции  $\varphi_k(t)$ , представляющие в аналитическом виде углы элементарных поворотов, выбираются в классе полиномов (сплайнов) соответствующей степени.

Гашение угловой скорости и углового ускорения. Для первых двух движений выберем функции  $\varphi_k(t)$ ,  $k=1,2$ , с краевыми условиями

$$\varphi_1(0) = 0; \dot{\varphi}_1(0) = \omega_0 \equiv \omega_0; \ddot{\varphi}_1(0) = \varepsilon_0 \equiv \varepsilon_0; \varphi_1(T_p) = 0; \dot{\varphi}_1(T_p) = 0; \ddot{\varphi}_1(T_p) = 0, \quad (5)$$

где условие  $\ddot{\varphi}_k(T_p) = 0$  учитывает указанное требование гладкости на правом конце ПМ, в виде полиномов (сплайнов)  $\varphi_k(\tau)$  4-ой степени нормированного времени  $\tau = t/T_p \in [0, 1]$ :

$$\begin{aligned} \dot{\varepsilon}_k(\tau) &= -6(a_0 - a_1\tau + 2a_2\tau^2); & \varepsilon_k(\tau) &= \varepsilon_0 - \tau(6a_0 - 3a_1\tau + 4a_2\tau^2); \\ \omega_k(\tau) &= \omega_0 + T_p\tau[\varepsilon_0 - \tau(3a_0 - a_1\tau + a_2\tau^2)]; & & (6) \\ \varphi_k(\tau) &= T_p\tau\{\omega_0 + T_p\tau[\varepsilon_0 - \tau(20a_0 - 5a_1\tau + 4a_2\tau^2)/10]2\}, \end{aligned}$$

где коэффициенты  $a_i$  определяются соотношениями  $a_0 = 2\omega_0/T_p + \varepsilon_0$ ;  $a_1 = 8\omega_0/T_p + 3\varepsilon_0$ ;  $a_2 = 3\omega_0/T_p + \varepsilon_0$ . Формально гашение начального углового ускорения получается из соотношений (6) при  $\omega_0 = 0$ , а гашение начальной угловой скорости – при  $\varepsilon_0 = 0$ .

Разгон до заданных значений угловой скорости и ускорения. Для последних двух движений функции  $\varphi_k(t)$ ,  $k=4,5$  и их производные должны удовлетворять краевым условиям  $\varphi_k(0) = 0$ ;  $\dot{\varphi}_k(0) = 0$ ;  $\ddot{\varphi}_k(0) = 0$ ;  $\varphi_k(T_p) = \omega_f \equiv \omega_f$ ;  $\dot{\varphi}_k(T_p) = \varepsilon_f \equiv \varepsilon_f$ ;  $\ddot{\varphi}_k(T_p) = 0$ , (7) поэтому  $\varphi_k(t)$  выбираются в виде сплайнов 5-ой степени нормированного времени  $\tau$ :

$$\begin{aligned} \dot{\varepsilon}_k(\tau) &= 6(a_0 + a_1\tau + 2a_2\tau^2); & \varepsilon_k(\tau) &= \tau(6a_0 + 3a_1\tau + 4a_2\tau^2); \\ \omega_k(\tau) &= T_p\tau^2(3a_0 + a_1\tau + a_2\tau^2); & \varphi_k(\tau) &= T_p\tau^3(20a_0 + 5a_1\tau + 4a_2\tau^2)/20, \end{aligned} \quad (8)$$

где  $a_i$  даются соотношениями:  $a_0 = 2\omega_f/T_p - \varepsilon_f$ ;  $a_1 = -8\omega_f/T_p + 5\varepsilon_f$ ;  $a_2 = 3\omega_f/T_p - 2\varepsilon_f$ .

Позиционный переход. Функция позиционного перехода  $\varphi_3(t)$  по углу поворота в третьем замыкающем элементарном движении должна удовлетворять краевым условиям

$$\varphi_3(0) = 0; \quad \dot{\varphi}_3(0) = 0; \quad \ddot{\varphi}_3(0) = 0; \quad (9)$$

$$\varphi_3(T_p) = \varphi^*; \quad \dot{\varphi}_3(T_p) = 0; \quad \ddot{\varphi}_3(T_p) = 0; \quad \varphi_3(T_p) = 0, \quad (10)$$

где угол  $\varphi^* = 2\arccos(\lambda_0^*)$  определяется краевыми условиями (1) и (2),  $\lambda_0^*$  – скалярная часть кватерниона  $\Lambda^* \equiv (\lambda_0^*, \lambda^*) = \bar{\Lambda}_2(T_p) \circ \bar{\Lambda}_1(T_p) \circ \bar{\Lambda}_0 \circ \Lambda_f \circ \bar{\Lambda}_5(T_p) \circ \bar{\Lambda}_4(T_p)$ , а кватернионы  $\Lambda_k(T_p)$ ,  $k=1,2,4,5$  определяются углами  $\varphi_k(T_p)$  по соотношениям (6), (8) при  $\tau = 1$  и ортами

$$\begin{aligned} e_1 = e_0^* = \varepsilon_0 / \varepsilon_0; e_2 = e_0^* = \omega_0 / \omega_0; e_3 = \lambda^* / \sin(\varphi^*/2); \\ e_4 = \Lambda_3(T_p) \circ e_0^* \circ \tilde{\Lambda}_3(T_p); e_5 = e_f^* = \varepsilon_f / \varepsilon_f, \end{aligned} \quad (11)$$

где орт  $e_0^* = \omega_f / \omega_f$ . На модуль скорости движения в позиционном переходе может накладываться ограничение с заданной константой  $\omega^*$  вида

$$\max_{\tau \in [0,1]} |\dot{\varphi}_3(\tau)| \leq \omega^*. \quad (12)$$

Рассмотрим сначала случай позиционного перехода без ограничений (12). Весь интервал такого перехода в нормированном времени  $\tau \in [0,1]$  разделим на 2 участка: первый участок длительностью  $\mu < 1$  и второй участок длительностью  $1-\mu$ . На каждом участке введем свое нормированное время:  $\tau_1 = t/T_1, T_1 \equiv \mu T_p$  и  $\tau_2 = (t-T_1)/T_2, T_2 \equiv (1-\mu) \cdot T_p$ . Угловое движение на первом участке представим полиномом 4-ой степени  $\varphi_3^{(1)}(\tau_1)$  с краевыми условиями (9) на левом конце, а на втором участке – полиномом 5-ой степени  $\varphi_3^{(2)}(\tau_2)$  с краевыми условиями (10) на правом конце. В момент абсолютного времени  $t = \mu T_p$  для гладкого сопряжения указанных участков с достижением максимальной скорости  $\omega_m = 10\varphi^*/(T_p(4+\mu))$  элементарного движения такого позиционного перехода потребуем равенства:

$$\varphi_3^{(1)}(1) = \varphi_3^{(2)}(0), \quad \dot{\varphi}_3^{(1)}(1) = \dot{\varphi}_3^{(2)}(0) = \omega_m, \quad \ddot{\varphi}_3^{(1)}(1) = \ddot{\varphi}_3^{(2)}(0). \quad (13)$$

Параметр  $\mu \in (0,1)$  является свободным, его можно использовать для перераспределения интенсивности ПМ на участках: уменьшение  $\mu$  увеличивает интенсивность ПМ на первом участке и уменьшает ее на втором. При определении параметра  $\mu$  из условия равенства третьей производной угла при стыке участков ( $\ddot{\varphi}_3^{(1)}(1) = \ddot{\varphi}_3^{(2)}(0)$ ) получается значение  $\mu = \sqrt{2} - 1$ .

Функции позиционного перехода  $\varphi_3^{(1)}(\tau_1), \varphi_3^{(2)}(\tau_2)$  имеют в данном случае вид:

$$\begin{aligned} \text{участок 1: } \dot{\varepsilon}_3^{(1)}(\tau_1) = \ddot{\varphi}_3^{(1)}(\tau_1) = \dot{\varepsilon}_m(1-2\tau_1); \quad \varepsilon_3^{(1)}(\tau_1) = \ddot{\varphi}_3^{(1)}(\tau_1) = \varepsilon_m \tau_1(1-\tau_1); \\ \omega_3^{(1)}(\tau_1) = \dot{\varphi}_3^{(1)}(\tau_1) = \omega_m \tau_1^3(3-2\tau_1); \quad \varphi_3^{(1)}(\tau_1) = \omega_m T_1 \tau_1^3(2-\tau_1)/2; \end{aligned} \quad (14)$$

$$\begin{aligned} \text{участок 2: } \dot{\varepsilon}_3^{(2)}(\tau_2) = \ddot{\varphi}_3^{(2)}(\tau_2) = 6(-a_0 + a_1\tau_2 - 2a_2\tau_2^2)/T_2; \\ \varepsilon_3^{(2)}(\tau_2) = \ddot{\varphi}_3^{(2)}(\tau_2) = -\tau_2(6a_0 - 3a_1\tau_2 + 4a_2\tau_2^2); \\ \omega_3^{(2)}(\tau_2) = \dot{\varphi}_3^{(2)}(\tau_2) = \omega_m - T_2\tau_2^2(3a_0 - a_1\tau_2 + a_2\tau_2^2); \\ \varphi_3^{(2)}(\tau_2) = \varphi_{31} - T_2\tau_2(\omega_m - T_2\tau_2^2(20a_0 - 5a_1\tau_2 + 4a_2\tau_2^2)/20), \end{aligned} \quad (15)$$

где  $a_0 = 2\omega_m/T_2$ ;  $a_1 = 8\omega_m/T_2$ ;  $a_2 = 3\omega_m/T_2$ ;  $\dot{\varepsilon}_m = 6\omega_m/T_1^2$ ;  $\varepsilon_m = 6\omega_m/T_1$ ;  $\varphi_{31} = \omega_m T_1/2$ .

Рассмотрим теперь случай наличия условия (12). В этом варианте между первым и вторым участком должен «вставляться» участок движения длительностью  $T_c$  с постоянной скоростью  $\dot{\varphi}_3(t) = \omega^* = \text{const}$  («полка»). При этом длительности всех участков движения:

$$T_1 = \mu T_p / (1 + q\mu); T_c = q(1 - \mu(1 - \mu)(2 - q)) T_p / (1 + q(1 + q\mu(1 - \mu))); T_2 = (1 - \mu) T_p / (1 + q(1 - \mu)),$$

а параметр  $q$ , определяющий длительность  $T_c$  «полки», находится из квадратного уравнения:

$$q^2 + bq + c = 0, \text{ где при обозначениях } z = \mu(1 - \mu)(10a - 1) \text{ и } a = 10\omega^* T_p \varphi^* \text{ коэффициенты:}$$

$$b = ((10a - 1) - 11a\mu(1 - \mu))/z \text{ и } c = ((4 + \mu)a - 1)/z. \text{ Если значение } q \leq 0, \text{ то при}$$

$\omega_m < \omega^*$  позиционный переход будет без «полки», при  $\omega_m > \omega^*$  требуемое движение несуществуемо. Если же  $q > 0$ , то позиционный переход обязательно имеет «полку» длительностью  $T_c$ .

Соотношения для аналитического описания позиционного перехода на участке 1 (от начала движения до времени начала «полки») и участке 2 (с момента времени схода с «полки» до завершения движения) по-прежнему имеют вид (14), (15), но с подстановкой в них  $\omega^*$

вместо  $\omega_m$ , нормированного времени на втором участке  $\tau_2 = (t - (T_1 + T_c))/T_2 \in [0, 1]$  и значения  $\varphi_{31} = \omega^* (T_c + T_1 / 2)$ . На участке «полки» параметры движения определяются формулами

$$\varepsilon_3^{(6)}(\tau_c) = \ddot{\varphi}_3^{(6)}(\tau_c) = 0; \varepsilon_3^{(5)}(\tau_c) = \dot{\varphi}_3^{(6)}(\tau_c) = 0; \omega_3^{(6)}(\tau_c) = \dot{\varphi}_3^{(6)}(\tau_c) = \omega^*; \varphi_3^{(6)}(\tau_c) = T_c \omega^* (1/2 + \tau_c),$$

где нормированное время  $\tau_c = (t - T_1)/T_c \in [0, 1]$ .

**Численные результаты.** Представленный метод аналитического синтеза параметров

ПМ КА реализован в виде комплекса программ и успешно апробирован на тестовых задачах управления ориентацией КА наблюдения [6] при ограниченных ресурсах силового гироскопического комплекса (СГК) [5].

На рис. 1 приведены все параметры ПМ КА на интервале времени  $T_p = [0, 85]$  с и потребные скорости прецессии СГК  $\beta_i(t)$ ,  $i = 1: 4$  при векторе начальных

углов прецессии СГК  $\beta(0) = \{40.716, -11.198, -152.739, 74.221\}^\circ$  и крайними условиями ПМ

$$\Lambda_0 = \{0.92667, -0.019725, 0.37420, -0.030397\}; \Lambda_f = \{0.92095, -0.092125, -0.37859, -0.0052309\};$$

$$\omega_0 = \{-0.9, 0.04, 0.7\}^\circ/\text{с}; \quad \omega_f = \{-0.9, -0.01, -0.7\}^\circ/\text{с};$$

$$\varepsilon_0 = \{-0.01, 0, 0.005\}^\circ/\text{с}^2; \quad \varepsilon_f = \{-0.0119549, -0.00106716, -0.0089966\}^\circ/\text{с}^2,$$

причем рис. 1а соответствует случаю движения в позиционном переходе без ограничений, а

рис. 1б – при наличии ограничения (12) с параметром  $\omega^* = 1.5^\circ/\text{с}$ .

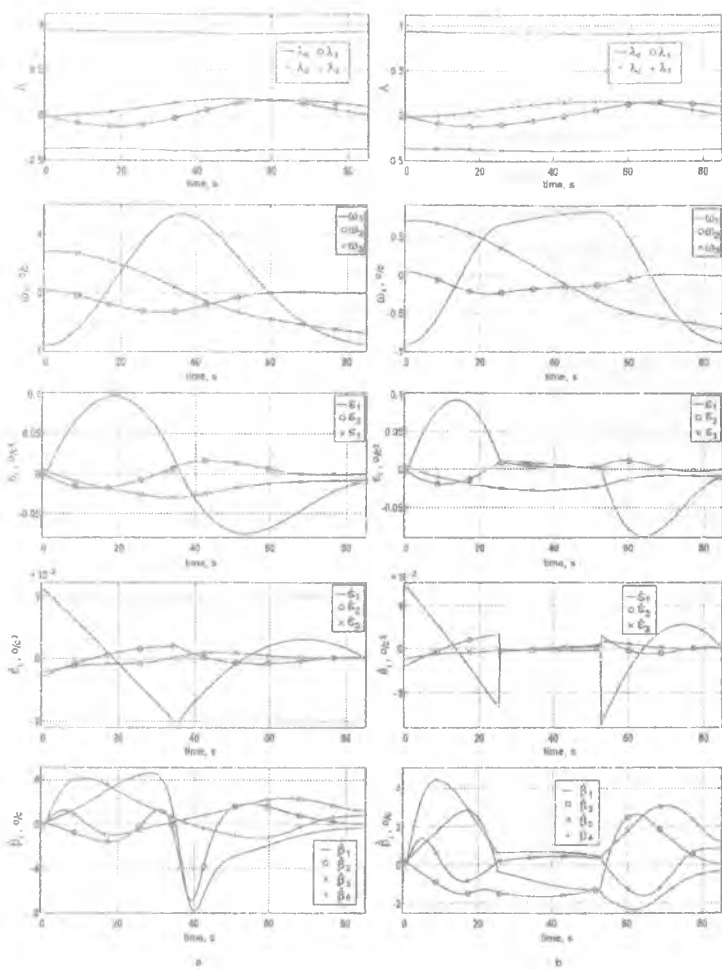


Рис. 1

## БИБЛИОГРАФИЧЕСКИЙ СПИСОК

1. Сомов Е.И. Оптимизация экстенсивного управления при переориентации летательного аппарата с управляющими силовыми гиросколами // Оптимизация процессов в авиационной технике. – Казань: КАИ, 1981, с. 106-110.
2. Антонов Ю.Г., Монахов Ю.В. Пространственные угловые маневры космического летательного аппарата // Сб. докладов 2-го Всесоюзного НТС по управлению движением и навигации летательных аппаратов. – Куйбышев: КуАИ, 1987, с. 45-47.
3. Anshakov G.P., Antonov Yu.G., Butyrin S.A., Makarov V.P., Matrosov V.M., Somov Ye.I. Gyromoment attitude control systems dynamics of rapid manoeuvring remote sensing spacecraft // Proceedings of Intern. Aerospace Congress. Theory, Applications, Technologies, vol. 2. – Moscow, 1995, pp. 125-128.
4. Somov Ye.I. Nonlinear Spacecraft Gyromoment Attitude Control // Proceedings of the 1<sup>st</sup> Intern. Conference on Nonlinear Problems in Aviation and Aerospace. - Daytona Beach, USA: ERAU, 1997, pp. 625-630.
5. Сомов Е.И., Герасин И.А. Оценка реализуемости поворотного маневра космического аппарата, управляемого избыточной системой гидродинов // Управление движением и навигация летательных аппаратов. – Самара: Академия космонавтики, 1998, с.138-143.
6. Somov Ye.I., Butyrin S.A., Matrosov V.M., Anshakov G.P., Antonov Yu.G., Makarov V.P. et al. Ultra-precision attitude control of a large low-orbital space telescope // *Control Engineering Practice*, vol. 7, no 7, 1999, pp 1127 – 1142.
7. Kozlov D.I., Anshakov G.P., Antonov Yu.G., Makarov V.P., Somov Ye.I. Precision flight control systems of Russian remote sensing spacecraft // *Space Technology*, 1999, no.3&4, pp. 37-52.
8. Аншаков Г.П., Антонов Ю.Г., Мантуров А.И., Усталов Ю.М. Формирование программ управления ориентацией КА наблюдения // Сб. научно-технических статей по ракетно-космической тематике. – Самара: ГНП РКЦ «ЦСКБ-Прогресс», 2001
9. Лурье А.И. Аналитическая механика. – М.: Физматлит, 1961.
10. Зубов В.И. Аналитическая динамика системы тел. – Л.: Изд-во ЛГУ, 1983.